

Modelización de la línea por cuadripolos

Juan Alvaro Fuentes Moreno
juanalvaro.fuentes@upct.es

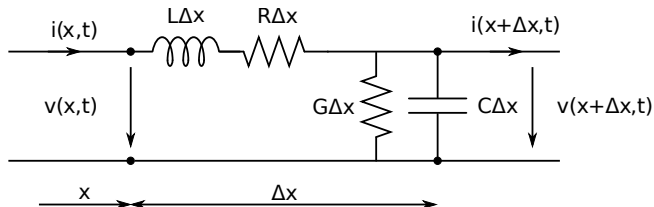
Departamento de Ingeniería Eléctrica
Universidad Politécnica de Cartagena

enero 2012

Índice

- 1** Introducción
- 2 Modelo de la línea con parámetros distribuidos
- 3 Caída de tensión en líneas inductivas: fórmula exacta y aproximada

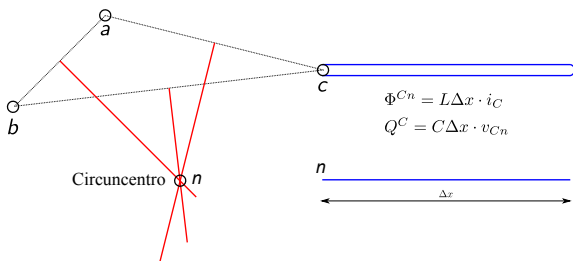
- Interesa relacionar tensiones e intensidades del origen con las del destino
- En temas anteriores se han estudiado los parámetros R, L, G y C
- Puesto que la línea es complicada de modelar se suelen hacer simplificaciones
 - Modelo de la línea de parámetros distribuidos
 - Se supone que el estado de operación de la línea es equilibrado
 - Además los parámetros se distribuyen uniformemente a lo largo de la línea
 - Un poco de historia:
 - En 1855 William Thomson (Lord Kelvin) inició el estudio de la línea eléctrica ante la pregunta de si sería factible una línea telegráfica entre Europa-EEUU
 - En 1885 Oliver Heaviside lo completó
- Primero vamos a ver la obtención física del circuito equivalente de un elemento de la línea de longitud Δx



Modelo físico de un elemento de línea

- En temas anteriores hemos visto como calcular el flujo en la superficie que hay entre un conductor y el neutro y la carga en la superficie del conductor

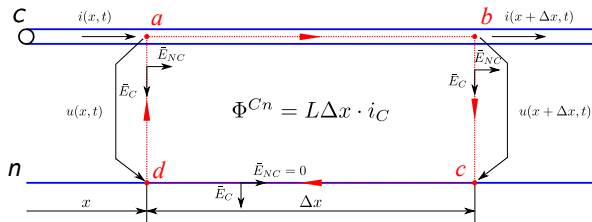
- Inductancia aparente $\Rightarrow \Phi = LI$
- Capacidad aparente $\Rightarrow Q = CV$



- ¿Como se llega al circuito equivalente partiendo del modelo físico? \Rightarrow Leyes de Kirchhoff

- Cálculo del trabajo a lo largo de una curva cerrada
- Principio de conservación de las cargas en un volumen

Modelo físico de un elemento de línea: cálculo del trabajo



$$\bar{E}_T = \bar{E}_C + \bar{E}_{NC}$$

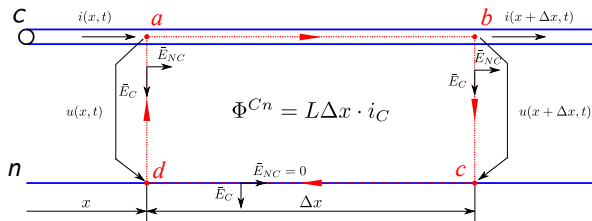


$$\underbrace{\int_{abcd} \bar{E}_T \cdot d\bar{l}}_{\mathbf{1}} = \underbrace{\int_{abcd} \bar{E}_C \cdot d\bar{l}}_{\mathbf{2}} + \underbrace{\int_{abcd} \bar{E}_{NC} \cdot d\bar{l}}_{\mathbf{3}}$$

$$\mathbf{1} \int_{abcd} \bar{E}_T \cdot d\bar{l}$$

- Ley de Ohm: $\bar{J} = \sigma \bar{E}_T \Rightarrow \bar{E}_T = \frac{\bar{J}}{\sigma}$
- $\int_{ab} \bar{E}_T \cdot d\bar{l} = \int_{ab} \frac{\bar{J}}{\sigma} \cdot d\bar{l} = \int_{ab} \frac{i(x,t)}{S_{conductor} \sigma} dl = i(x,t) \frac{long_{ab}}{S_{conductor} \sigma} = R \Delta x \cdot i(x,t)$
- $\int_{bc} \bar{E}_T \cdot d\bar{l} = \int_{bc} \bar{E}_C + \bar{E}_{NC} \cdot d\bar{l} = \int_{bc} \bar{E}_C + \int_{bc} \bar{E}_{NC} \cdot d\bar{l} = \int_{bc} -\bar{\nabla} V \cdot d\bar{l} = u(x + \Delta x, t)$
- $\int_{cd} \bar{E}_T \cdot d\bar{l} = 0$ puesto que $\bar{E}_{NC} = 0$ y \bar{E}_C es normal
- $\int_{da} \bar{E}_T \cdot d\bar{l} = \int_{da} -\bar{\nabla} V \cdot d\bar{l} = -u(x, t)$

Modelo físico de un elemento de línea: cálculo del trabajo (II)



$$\vec{E}_T = \vec{E}_C + \vec{E}_{NC}$$



$$\underbrace{\int_{abcd} \vec{E}_T \cdot d\vec{l}}_{\mathbf{1}} = \underbrace{\int_{abcd} \vec{E}_C \cdot d\vec{l}}_{\mathbf{2}} + \underbrace{\int_{abcd} \vec{E}_{NC} \cdot d\vec{l}}_{\mathbf{3}}$$

1 $\int_{abcd} \vec{E}_T \cdot d\vec{l} \Rightarrow R\Delta x \cdot i(x,t) + u(x + \Delta x, t) - u(x, t)$

2 $\int_{abcd} \vec{E}_C \cdot d\vec{l}$, al ser un campo conservativo $\Rightarrow 0$

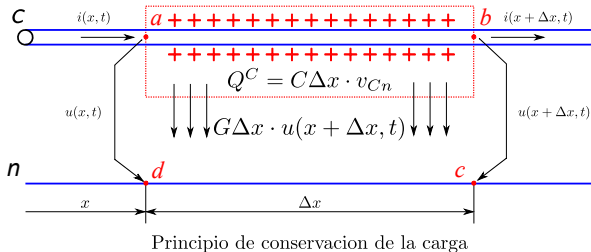
3 $\int_{abcd} \vec{E}_{NC} \cdot d\vec{l}$, es igual a la fem_{abcd} $\Rightarrow fem_{abcd} = -\frac{d\Phi_{abcd}}{dt} = -L\Delta x \cdot \frac{\partial i(x,t)}{\partial t}$

■ Igualando (1 = 2+3): $R\Delta x \cdot i(x, t) + u(x + \Delta x, t) - u(x) = -L\Delta x \cdot \frac{\partial i(x,t)}{\partial t}$

■ Y, reordenando términos:

$$u(x + \Delta x, t) - u(x) = -R\Delta x \cdot i(x, t) - L\Delta x \cdot \frac{\partial i(x,t)}{\partial t}$$

Modelo físico de un elemento de línea: conservación de la carga



■ Principio de conservación de la carga:

- Suma de cargas que entran igual a la variación de la carga en el volumen

$$i(x, t)\Delta t - i(x + \Delta x, t)\Delta t - G\Delta x u(x + \Delta x, t)\Delta t = Q(t + \Delta t) - Q(t)$$

- Dividiendo por Δt y haciendo el límite $\Delta t \rightarrow 0$

$$i(x, t) - i(x + \Delta x, t) - G\Delta x \cdot u(x + \Delta x, t) = \frac{\partial Q}{\partial t}$$

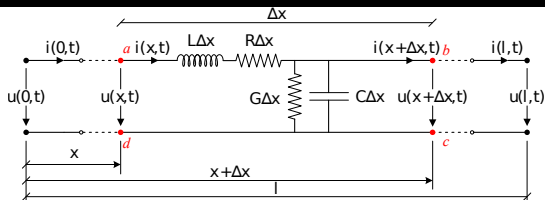
- Teniendo en cuenta que $Q(t) = C\Delta x \cdot u(x + \Delta x, t)$, reordenando y despreciando infinitésimos de segundo orden:

$$i(x + \Delta x, t) - i(x, t) = -G\Delta x \cdot u(x, t) - C\Delta x \cdot \frac{\partial u(x, t)}{\partial t}$$

Índice

- 1 Introducción
- 2 Modelo de la línea con parámetros distribuidos
- 3 Caída de tensión en líneas inductivas: fórmula exacta y aproximada

Circuito equivalente de un elemento de línea: solución general



- La escritura de las leyes de Kirchhoff al elemento de línea Δx permiten obtener las mismas ecuaciones que las del modelo físico \Rightarrow Circuito equivalente

$$u(x + \Delta x, t) - u(x) = -R\Delta x \cdot i(x, t) - L\Delta x \cdot \frac{\partial i(x, t)}{\partial t}$$

$$i(x + \Delta x, t) - i(x, t) = -G\Delta x \cdot u(x, t) - C\Delta x \cdot \frac{\partial u(x, t)}{\partial t}$$

- Dividiendo por Δx y haciendo el límite $\Delta x \rightarrow 0$

$$\frac{\partial u(x, t)}{\partial x} = -Ri(x, t) - L \frac{\partial i(x, t)}{\partial t} \quad (1)$$

$$\frac{\partial i(x, t)}{\partial x} = -Gu(x, t) - C \frac{\partial u(x, t)}{\partial t}$$

- Cuya solución general son las ecuaciones de ondas viajeras en la línea

$$u(x, t) = f(t \pm x/c) \quad (2)$$

$$i(x, t) = f(t \pm x/c)$$

- Puesto que los sistemas eléctricos utilizan tensiones e intensidades senoidales interesa obtener soluciones ante excitaciones senoidales

$$u(x, t) = \operatorname{Re}(\bar{U}e^{jw(t \pm x/\bar{c})}) = \operatorname{Re}(\bar{U}(x)e^{jw t}) \quad (3)$$

$$i(x, t) = \operatorname{Re}(\bar{I}e^{jw(t \pm x/\bar{c})}) = \operatorname{Re}(\bar{I}(x)e^{jw t})$$

- Sustituyendo estas soluciones en (1) obtenemos las ecuaciones en el dominio de la frecuencia

$$\frac{d\bar{U}(x)}{dx} = -(R + jwL)\bar{I}(x) = -\bar{z}\bar{I}(x) \quad (4)$$

$$\frac{d\bar{I}(x)}{dx} = -(G + jwC)\bar{U}(x) = -\bar{y}\bar{U}(x)$$

- Donde se han introducido las variables $\bar{z} = R + jwL$ (Ω/m) y $\bar{y} = G + jwC$ (S/m)
- Cuya solución para la dependencia espacial es:

$$\bar{U}(x) = \bar{U}_i e^{-\bar{\gamma}x} + \bar{U}_r e^{+\bar{\gamma}x} \quad (5)$$

$$\bar{I}(x) = \bar{I}_i e^{-\bar{\gamma}x} + \bar{I}_r e^{+\bar{\gamma}x}$$

- Definiendo la **constante de propagación**, $\bar{\gamma}$, como:

$$\bar{\gamma} \triangleq \sqrt{\bar{z}\bar{y}} = \alpha + j\beta$$

- A α se le conoce como **cte de atenuación** y a β como **cte de fase**

Significado de las soluciones: onda incidente y reflejada

- Las soluciones en el tiempo y en el espacio serían:

$$u(x, t) = U_i e^{-\alpha x} \operatorname{Re}[e^{j(\omega t - \beta x + \phi_{U_i})}] + U_r e^{\alpha x} \operatorname{Re}[e^{j(\omega t + \beta x + \phi_{U_r})}] \quad (6)$$

$$i(x, t) = I_i e^{-\alpha x} \operatorname{Re}[e^{j(\omega t - \beta x + \phi_{I_i})}] + I_r e^{\alpha x} \operatorname{Re}[e^{j(\omega t + \beta x + \phi_{I_r})}]$$

- Ondas **incidente**, **reflejada** y **suma de ambas**

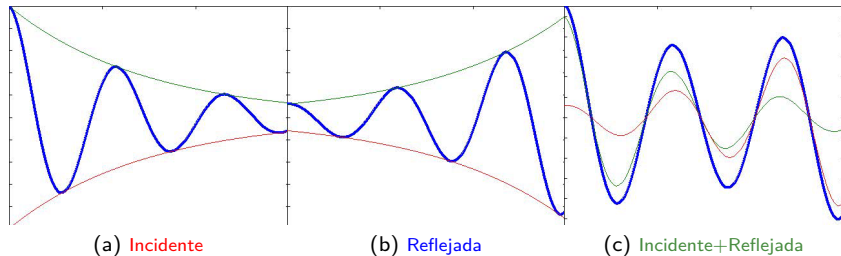


Figura: Ondas propagándose en la línea

- Puesto que son ondas:

- Longitud de onda, $\lambda = \frac{2\pi}{\beta}$
- Velocidad de fase, $v = \frac{\omega}{\beta}$

Solución en forma hiperbólica: condiciones de contorno

- Para determinar la solución particular a partir de la general hay que determinar las constantes \bar{U}_i , \bar{U}_r , \bar{I}_i y \bar{I}_r

- De estas cuatro sólo dos son independientes:

- $\bar{U}_i = \bar{Z}_c \bar{I}_i$

- $\bar{U}_r = -\bar{Z}_c \bar{I}_r$

- Definiendo a la **impedancia característica** como: $\bar{Z}_c \triangleq \sqrt{\frac{\bar{z}}{\bar{y}}} \text{ (}\Omega/m\text{)}$

- Determinar \bar{U}_i , \bar{U}_r , \bar{I}_i y \bar{I}_r a partir de las condiciones de contorno no es conveniente

- Las condiciones son dos **fases** de tensiones e intensidades, a elegir entre origen y destino, y habría que separarlas en parte incidente y reflejada \Rightarrow Inconveniente
- Es más conveniente aplicar dichas condiciones sin tener que separarlas en parte incidente y parte reflejada \Rightarrow Solución en forma hiperbólica

$$\begin{aligned}\bar{U}(x) &= \bar{U}_i e^{-\bar{\gamma}x} + \bar{U}_r e^{+\bar{\gamma}x} \\ &= (\bar{U}_i + \bar{U}_r) \frac{e^{\bar{\gamma}x} + e^{-\bar{\gamma}x}}{2} + (\bar{U}_r - \bar{U}_i) \frac{e^{\bar{\gamma}x} - e^{-\bar{\gamma}x}}{2} \\ &= \bar{K}_1 \cosh(\bar{\gamma}x) + \bar{K}_2 \sinh(\bar{\gamma}x)\end{aligned}$$

- Solución en forma hiperbólica

$$\bar{U}(x) = \bar{K}_1 \cosh(\bar{\gamma}x) + \bar{K}_2 \sinh(\bar{\gamma}x) \quad (7)$$

$$\bar{I}(x) = \bar{K}_3 \cosh(\bar{\gamma}x) + \bar{K}_4 \sinh(\bar{\gamma}x) \quad (8)$$

Solución en forma hiperbólica: determinación de K_1 , K_2 , K_3 y K_4

■ Determinación de K_1 y K_3

- En $x = 0$ se cumple $\bar{U}(x) = \bar{U}(0)$ y $\bar{I}(x) = \bar{I}(0) \Rightarrow$

$$\bar{K}_1 = \bar{U}(0)$$

$$\bar{K}_3 = \bar{I}(0)$$

■ Determinación de K_2 y K_4

- Sustituyendo las soluciones hiperbólicas, (7) y (8), en (4):

$$\bar{K}_1 \bar{\gamma} \sinh(\gamma x) + \bar{K}_2 \bar{\gamma} \cosh(\gamma x) = -\bar{z}(\bar{K}_3 \cosh(\bar{\gamma} x) + \bar{K}_4 \sinh(\bar{\gamma} x))$$

$$\bar{K}_3 \bar{\gamma} \sinh(\gamma x) + \bar{K}_4 \bar{\gamma} \cosh(\gamma x) = -\bar{y}(\bar{K}_1 \cosh(\bar{\gamma} x) + \bar{K}_2 \sinh(\bar{\gamma} x))$$

- Estas dos ecuaciones se deben cumplir para todo punto, en especial para $x = 0 \Rightarrow$

$$\bar{K}_2 = -\frac{\bar{z}}{\bar{\gamma}} \bar{K}_3 = -\frac{\bar{z}}{\sqrt{\bar{z}\bar{y}}} \bar{I}(0) = -\bar{Z}_c \bar{I}(0)$$

$$\bar{K}_4 = -\frac{\bar{y}}{\bar{\gamma}} \bar{K}_1 = -\frac{\bar{y}}{\sqrt{\bar{z}\bar{y}}} \bar{U}(0) = -\frac{1}{\bar{Z}_c} \bar{U}(0)$$

- Donde $\bar{Z}_c = \sqrt{\frac{\bar{z}}{\bar{y}}}$ (Ω/m) es la impedancia característica

■ Solución hiperbólica:

$$\bar{U}(x) = \bar{U}(0) \cosh(\bar{\gamma}x) - \bar{Z}_c \bar{I}(0) \sinh(\bar{\gamma}x)$$

$$\bar{I}(x) = -\frac{\bar{U}(0)}{\bar{Z}_c} \sinh(\bar{\gamma}x) + \bar{I}(0) \cosh(\bar{\gamma}x)$$

■ Solución en forma matricial:

$$\begin{bmatrix} \bar{U}(x) \\ \bar{I}(x) \end{bmatrix} = \begin{bmatrix} \cosh(\bar{\gamma}x) & -\bar{Z}_c \sinh(\bar{\gamma}x) \\ -\frac{1}{\bar{Z}_c} \sinh(\bar{\gamma}x) & \cosh(\bar{\gamma}x) \end{bmatrix} \begin{bmatrix} \bar{U}(0) \\ \bar{I}(0) \end{bmatrix} \quad (9)$$

■ Parámetros de transmisión de la línea

- Invertiendo la solución matricial para $x = l$:

$$\begin{bmatrix} \bar{U}(0) \\ \bar{I}(0) \end{bmatrix} = \begin{bmatrix} \cosh(\bar{\gamma}l) & +\bar{Z}_c \sinh(\bar{\gamma}l) \\ \frac{1}{\bar{Z}_c} \sinh(\bar{\gamma}l) & \cosh(\bar{\gamma}l) \end{bmatrix} \begin{bmatrix} \bar{U}(l) \\ \bar{I}(l) \end{bmatrix} \quad (10)$$

- Permite obtener los parámetros de transmisión de la línea:

$$\bar{A} = \cosh(\bar{\gamma}l)$$

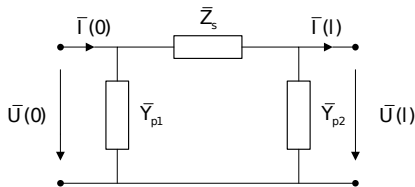
$$\bar{B} = \bar{Z}_c \sinh(\bar{\gamma}l)$$

$$\bar{C} = \frac{1}{\bar{Z}_c} \sinh(\bar{\gamma}l)$$

$$\bar{D} = \cosh(\bar{\gamma}l)$$

Modelo en pi equivalente de la línea de transmisión

■ Circuito en pi equivalente



■ Calculando sus parámetros de transmisión

$$\begin{bmatrix} \bar{U}(0) \\ \bar{I}(0) \end{bmatrix} = \begin{bmatrix} 1 & 0 \\ \bar{Y}_{p1} & 1 \end{bmatrix} \begin{bmatrix} 1 & \bar{Z}_s \\ 0 & 1 \end{bmatrix} \begin{bmatrix} 1 & 0 \\ \bar{Y}_{p2} & 1 \end{bmatrix} \begin{bmatrix} \bar{U}(l) \\ \bar{I}(l) \end{bmatrix} = \begin{bmatrix} 1 + \bar{Y}_{p2}\bar{Z}_s & \bar{Z}_s \\ \bar{Y}_{p1} + \bar{Y}_{p2} + \bar{Y}_{p1}\bar{Y}_{p2}\bar{Z}_s & 1 + \bar{Y}_{p1}\bar{Z}_s \end{bmatrix} \begin{bmatrix} \bar{U}(l) \\ \bar{I}(l) \end{bmatrix}$$

- E igualando con los obtenidos para la línea obtenemos los parámetros del π equivalente que, como se puede ver, es simétrico:

$$\bar{Z}_s = \bar{Z}_c \sinh(\bar{\gamma}l)$$

$$\bar{Y}_{p2} = \frac{1}{\bar{Z}_c} \frac{\cosh(\bar{\gamma}l) - 1}{\sinh(\bar{\gamma}l)} = \frac{1}{\bar{Z}_c} \tanh\left(\frac{\bar{\gamma}l}{2}\right)$$

$$\bar{Y}_{p1} = \frac{1}{\bar{Z}_c} \frac{\cosh(\bar{\gamma}l) - 1}{\sinh(\bar{\gamma}l)} = \frac{1}{\bar{Z}_c} \tanh\left(\frac{\bar{\gamma}l}{2}\right)$$

Modelos aproximados para la línea de transmisión

- Transformando las expresiones obtenidas para el π equivalente en:

$$\bar{Z}_s = \bar{Z}_c \sinh(\bar{\gamma}l) = \sqrt{\frac{z}{y}} \sinh(\bar{\gamma}l) = \bar{z}l \frac{\sinh(\bar{\gamma}l)}{\bar{\gamma}l} = \bar{Z} \frac{\sinh(\bar{\gamma}l)}{\bar{\gamma}l}$$

$$\bar{Y}_p = \frac{1}{\bar{Z}_c} \tanh\left(\frac{\bar{\gamma}l}{2}\right) = \frac{\bar{y}l}{\bar{\gamma}l} \tanh\left(\frac{\bar{\gamma}l}{2}\right) = \frac{\bar{Y}}{2} \frac{\tanh\left(\frac{\bar{\gamma}l}{2}\right)}{\frac{\bar{\gamma}l}{2}}$$

- Definiendo $\bar{Z} = \bar{z} \cdot l$ (Ω) y $\bar{Y} = \bar{y} \cdot l/2$ (S)

- Como las funciones $\sinh(x)/x$ y $\tanh(x)/x$ tienden ambas a 1 cuando $|x| \ll 1 \Rightarrow$

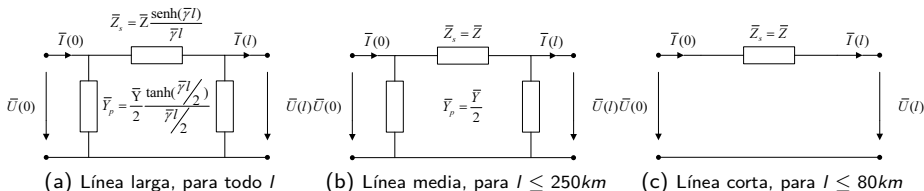


Figura: Modelos de la línea eléctrica y sus límites (para línea aérea)

Potencia natural de la línea

- Potencia natural \triangleq potencia transportada por la línea cuando es terminada por \bar{Z}_c

- $\bar{U}(l) = \bar{Z}_c \bar{I}(l)$

- La potencia transportada, la potencia natural, será: $\bar{S}_c = \frac{U(l)^2}{Z_c^*}$

Tensiones	Aéreas $Z_c = 350\Omega$	Subterráneas $Z_c = 40\Omega$
(kV)	(MVA)	(MVA)
20	1,14	10
66	12,4	109
132	49,8	435
220	138	1 200
400	457	4 000

Potencias naturales típicas de líneas aéreas y subterráneas

- Para líneas ideales $\bar{Z}_c \in \Re$:

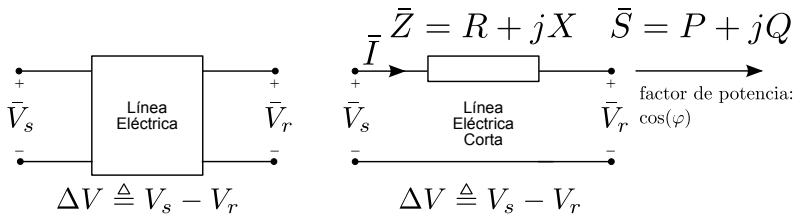
- Si $Z_{carga} < Z_c \Rightarrow$ la tensión va disminuyendo a lo largo de la línea
- Si $Z_{carga} = Z_c \Rightarrow$ el perfil de tensiones es plano
- Si $Z_{carga} > Z_c \Rightarrow$ la tensión va aumentando a lo largo de la línea (efecto ferranti)

Índice

- 1 Introducción
- 2 Modelo de la línea con parámetros distribuidos
- 3 Caída de tensión en líneas inductivas: fórmula exacta y aproximada

Caída de tensión en líneas inductivas: fórmula exacta y aproximada

- **Caída de tensión en una línea** \triangleq diferencia entre los módulos de la tensión a la entrada y a la salida



- Para el caso del modelo de línea de longitud corta las caídas de tensión son:

- Expresado con I y φ

- Exacta: $\Delta V = RI \cos \varphi + XI \sin \varphi + V_s - \sqrt{V_s^2 - (XI \cos \varphi - RI \sin \varphi)^2}$
- Aproximada: $\Delta V = RI \cos \varphi + XI \sin \varphi$

- Expresado con P y Q

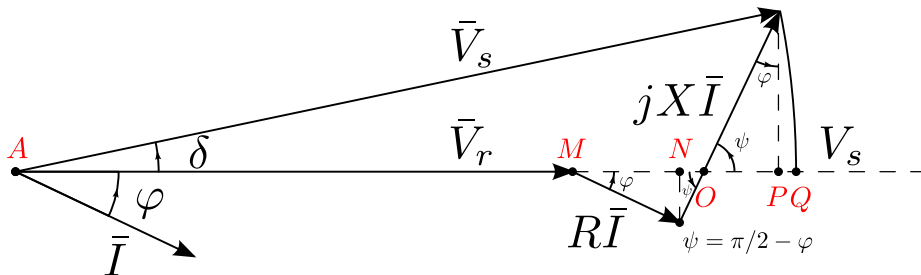
- Exacta: $\Delta V = R \frac{P}{V_r} + X \frac{Q}{V_r} + V_s - \sqrt{V_s^2 - (X \frac{P}{V_r} - R \frac{Q}{V_r})^2}$
- Aproximada: $\Delta V = R \frac{P}{V_r} + X \frac{Q}{V_r}$

- De tensión de línea: ΔV^{linea}

- $\Delta V^{linea} = \sqrt{3} \Delta V$
- Como $\frac{P}{V_r} = \frac{P^{tri}}{\sqrt{3} V_r^{linea}}$ y $\frac{Q}{V_r} = \frac{Q^{tri}}{\sqrt{3} V_r^{linea}} \Rightarrow$ Aproximada: $\Delta V^{linea} = R \frac{P^{tri}}{V_r^{linea}} + X \frac{Q^{tri}}{V_r^{linea}}$

- De circuito monofásico: $\Delta V^{mono} = 2 \Delta V$

Caída de tensión en líneas inductivas: justificación



■ $\Delta V = V_s - V_r = \overline{MQ} = \overline{MN} + \overline{NP} + \overline{PQ}$

■ $\overline{MN} = RI \cos \varphi$

■ $\overline{NP} = XI \cos \psi = XI \sin \varphi$

■ $\overline{PQ} = \overline{AQ} - \overline{AP}$

■ $\overline{AQ} = V_s$

■ $\overline{AP} = \sqrt{V_s^2 - (XI \cos \varphi - RI \cos \psi)^2} = \sqrt{V_s^2 - (XI \cos \varphi - RI \sin \varphi)^2}$

■ Fórmula exacta: $\Delta V = V_s - V_r = \overline{MN} + \overline{NP} + \overline{PQ}$

■ $\Delta V = RI \cos \varphi + XI \sin \varphi + V_s - \sqrt{V_s^2 - (XI \cos \varphi - RI \sin \varphi)^2}$

■ Fórmula aproximada: $\Delta V = V_s - V_r \approx \overline{MN} + \overline{NP}$

■ $\Delta V = RI \cos \varphi + XI \sin \varphi$